

В. М. Ільїн

## Зміни кровообігу залежно від типу вегетативного гомеостазу у водолазів при зануреннях на глибини 65 м

В экспериментальных погружениях в барокамере со сжатым воздухом на глубины до 65 м у 16 водолазов исследованы изменения вегетативного гомеостаза и кардиогемодинамики. Оценена индивидуальная устойчивость организма человека к действию экстремальных факторов гипербарической среды. Выявлено, что у лиц с исходно высокой централизацией регуляции кровообращения и выраженным преобладанием активности симпатического или парасимпатического отделов вегетативной нервной системы после окончания погружений высока вероятность возникновения нарушения функции вегетативной нервной системы и симптомов декомпрессионных расстройств.

Вступн

Під час підводних занурень в організмі людини відбувається мобілізація захисних сил, що забезпечує компенсацію стресорної дії гіпербарії, інтенсивних психологічних і фізичних навантажень. При цьому реакції організму на екстремальні чинники певною мірою, визначаються співвідношенням активності симпатичного та парасимпатичного відділів вегетативної нервової системи і відображають загальну схему адаптації, запропоновану Сельє [14]. Система кровообігу з її складним апаратом управління бере участь в адаптаційних механізмах і є індикатором перебудови в організмі вегетативного гомеостазу та стресу [1].

Мета нашої роботи полягала в дослідженні змін кардіогемодинаміки залежно від типу вегетативного гомеостазу у водолазів під час і після короткочасних занурень у барокамері зі стисливим повітрям на глибину до 65 м і оцінці індивідуальної тривалості організму людини до дії екстремальних чинників.

## Методика

У 24 експериментальних спусках у барокамері зі стисливим повітрям брало участь 16 водолазів. Час перебування на глибині 65 м не перевищував 20 хв. Середня швидкість компресії в усіх зануреннях становила 0,1 МПа/хв. До, під час і після занурення виконувалися проби Вальсальви. Під час проведення проб на всіх етапах експерименту безупинно реєстрували внутрішньогрудний тиск, середній артеріальний тиск крові, електрокардіограму, реоплетизограму та інтервалокардіограму. Протягом усього циклу обстеження через кожні дві секунди за допомогою спеціально розробленого для даних досліджень апаратурного та обчислювального комплексів розраховували значення показників, що характеризують функцію кровообігу та вегетативний гомеостаз організму водолаза [11].

© В. М. Ільїн, 1999

## Результати

В табл. 1 наведено результати аналізу ритмічності серця у пацієнтів з хронічними лазів при перебуванні в ліжку. Виявлено, що спостерігалося зменшення амплітуди інтервалів (Av<sub>RR</sub>) та розподіл кардіо-рітмічних умов відповідає змінам, які відбуваються в тенденції зменшення коефіцієнта вариації рівноваги (IBR = 100%). У нормальному аналізі хвилини виявлено, що значення IBR відповідає стисливому повітряній шаровірніяно з нормою. У пацієнтів з хронічними лазіями виявлено зменшення IBR, що відповідає тенденції димінізації симптомів (Sm2) і перебування в ліжку. Вірогідно ( $P < 0,05$ ) зменшення IBR відбувається від 0,3 до 1,0 Гц. Виявлено зменшення амплітуди серця (Sb) в діапазоні 0,5–1,0 Гц.

Таблиця 1.  
до, під час і

## Показы

|                          |   |
|--------------------------|---|
| Середнє значення         | в |
| Мода, с                  |   |
| Амплітуда моди           |   |
| Середнє квадратичне      |   |
| кардіоінтервалів, с      |   |
| Коефіцієнт варіації      |   |
| Індекс вегетативної      |   |
| Коефіцієнт автокореляції |   |
| Зсув автокореляції       |   |
| зі з'єднаним значенням   |   |
| Спектр потужності        |   |
| від од.                  |   |
| Спектральна потужність   |   |
| іншого порядку в розрізі |   |
| Спектральна потужність   |   |
| першого порядку, від     |   |
| Спектральна потужність   |   |
| від од.                  |   |
| Спектральна потужність   |   |
| від од.                  |   |

\* P < 0.05. \*\* P < 0.01.

## Результати

В табл. 1 наведені результати варіаційного, автокореляційного та спектрально-го аналізу ритму серця у водолазів на кожному з етапів обстеження. У водолазів при перебуванні на глибині 65 м з використанням стислого повітря порівняно спостерігалося вірогідне ( $P < 0,05$ ) збільшення середнього значення кардіо-інтервалів ( $Av_{R-R}$ ) і моди (Mo) нормованих гістограм, що характеризують розподіл кардіоінтервалів у водолазів у стані відносного спокою. За гіпербаричних умов відзначалася більша варіабельність R-R інтервалів, що проявляється в тенденції до збільшення середнього квадратичного відхилення ( $\sigma$ ) і коефіцієнта варіації ( $V = (\sigma / Av_{R-R})$ ) кардіоінтервалів. Реєструвалося також зменшення амплітуди моди (AMo) нормованих гістограм. Індекс вегетативної рівноваги (IBP = AMo /  $\Delta X$ ) у більшості водолазів знижувався. При спектральному аналізі хвильової структури динамічного ряду R-R інтервалів було виявлено, що значення потужності спектра ритму серця на нульовій частоті (So) у стислому повітрі на глибині 65 м у водолазів вірогідно ( $P < 0,05$ ) зменшувалося порівняно з нормобаричним рівнем. Поряд з цим, у гіпербаричних умовах виявлялася тенденція до підвищення спектральних потужностей повільних хвиль другого (Sm2) і першого (Sm1) порядків у діапазоні частот 0,2–0,6 і 0,6–0,15 Гц. Вірогідно ( $P < 0,05$ ) збільшувалася потужність швидких хвиль (Sf) при частоті 0,3 до 1,0 Гц. Вірогідно не змінювалася потужність дихальних хвиль у ритмі серця (Sb) в діапазоні частот від 0,15–0,30 Гц.

**Таблиця 1. Показники математичного аналізу ритму серця у водолазів до, під час і після короткочасних занурень на глибину 65 м ( $M \pm m$ )**

| Показник  | До занурення | Під час занурення | Після занурення |
|---|--------------|-------------------|-----------------|
| Середнє значення кардіоінтервалів, с  | 0,84±0,08    | 0,98±0,08*        | 1,02±0,10**     |
| Мода, с   | 0,78±0,09    | 0,88±0,12         | 0,99±0,08       |
| Амплітуда моди  | 40,0±14,0    | 32,4±11,3         | 25,2±5,8*       |
| Середнє квадратичне відхилення кардіоінтервалів, с                            | 0,06±0,036   | 0,07±0,026        | 0,08±0,032      |
| Коефіцієнт варіації кардіоінтервалів, %                                       | 7,3±3,91     | 7,8±2,14          | 8,1±2,34        |
| Індекс вегетативної рівноваги   | 152,4±98,1   | 107,4±84,3        | 68,0±26,6       |
| Коефіцієнт автокореляції після першого зсуву автокореляційної функції         | 0,58±0,18    | 0,54±0,18         | 0,49±0,16       |
| Зсув автокореляційної функції з першим від'ємним значенням                    | 5,2±0,45     | 7,00±6,89         | 6,00±3,39       |
| Спектр потужності на нульовій частоті, від. од.                               | 1,07±1,21    | 0,41±0,38*        | 0,45±0,42*      |
| Спектральна потужність повільних хвиль другого порядку в ритмі серця, від од. | 0,93±0,41    | 1,14±0,92         | 1,70±0,69*      |
| Спектральна потужність повільних хвиль першого порядку, від од.               | 0,64±0,88    | 1,01±1,22         | 1,32±0,76       |
| Спектральна потужність дихальних хвиль, від од.                               | 0,74±0,47    | 0,84±0,49         | 0,81±0,59       |
| Спектральна потужність швидких хвиль, від од.                                 | 0,30±0,27    | 0,71±0,43*        | 0,72±0,60       |

\*  $P < 0,05$ ; \*\*  $P < 0,01$ .

Поряд зі змінами вегетативного гомеостазу у водолазів під час занурення відзначалися зрушения в системі кровообігу (табл. 2). При перебуванні в барокамері зі стисливим повітрям на глибині 65 м у більшості водолазів порівняно з нормобарією практично не змінювались або змінювалися незначно середній динамічний тиск (СДТ), ударний індекс (УІ) і лінійна швидкість руху крові (ЛШРК). У той же час, вірогідно ( $P < 0,01$ ) зменшувалася частота серцевих скорочень (ЧСС). Відзначалася тенденція до підвищення питомого периферично-го опору кровоносних судин (ППО) і зниження серцевого індексу (CI). Фазова структура серцевих скорочень також змінювалася при перебуванні водолазів за гіпербаричних умов. Вірогідно ( $P < 0,05$ ) збільшувався період напруження серцевого м'яза (ПН). Істотно зменшувався ( $P < 0,05$ ) хвилинний час зігнання крові (ХЧЗ) за рахунок скорочення періоду зігнання (ПЗ). У результаті ослаблення насосної функції серця збільшився ( $P < 0,05$ ) індекс напруження міокарду (ІНМ). Слід відзначити, що характер змін показників ритму серця і кардіогемодинаміки, що спостерігаються під час занурення, у водолазів зберігався після закінчення декомпресії. При цьому зміни абсолютної більшості показників (див. табл. 1, 2) не тільки не послаблювались, а й посилювалися.

Поряд із загальними тенденціями у деяких випадках зміни значень, що характеризують вегетативний гомеостаз і регулювання кровообігу за гіпербаричних умов і після закінчення декомпресії, залежали від вихідних значень цих показників. На рис. 1 показані нормовані гістограми, автокореляційні функції та функції спектральної щільності у водолаза з вираженим домінуванням тонусу симпатичної нервової системи і високою централізацією регуляторних механізмів у стані відносного спокою до, під час і після занурення на глибину 65 м. До початку компресії у цього водолаза відзначалися близькі до середніх значень  $\text{Av}_{R-R}$  (0,8 с), Mo (0,75 с), AMo (46),  $\sigma$  (0,04 с), V (4,5%) і IBP (184). Під час занурення значення цих показників практично не змінилися, за винятком IBP, який підвищився з 184 до 255 значення. По закінченні декомпресії  $\text{Av}_{R-R}$  і Mo збільшилися від 0,8 до 1,05 с,  $\sigma$  і V – від 0,04 до 0,06 і від 4,5 до 5,3 % відповідно. AMo і IBP зменшилися з 51 до 33 і з 255 до 94 відповідно. До

Таблиця 2. Показники кардіогемодинаміки та фазової структури серцевого циклу у водолазів до, під час і після короткочасних занурень на глибину 65 м ( $M \pm m$ )

| Показник  | До занурення | Під час занурення | Після занурення |
|---|--------------|-------------------|-----------------|
| Середній динамічний тиск, мм рт. ст.                    | 83,5±8,14    | 82,4±13,58        | 82,0±12,82      |
| Частота серцевих скорочень, хв <sup>-1</sup>            | 71±12,1      | 59±8,2**          | 58,5±7,8***     |
| Ударний індекс, мл · м <sup>-2</sup>                    | 56,5±18,55   | 54,7±9,04         | 52±16,35        |
| Серцевий індекс, л · хв <sup>-1</sup> · м <sup>-2</sup> | 3,44±1,047   | 3,01±0,761        | 2,92±0,922*     |
| Лінійна швидкість руху крові, см · с <sup>-1</sup>      | 68,0±20,46   | 64,8±22,59        | 64,2±24,45      |
| Питомий периферичний опір, від. од.                     | 26,6±9,72    | 28,1±7,59         | 33,2±23,02*     |
| Період зігнання, с                                      | 0,29±0,057   | 0,28±0,061        | 0,25±0,071      |
| Період напруження серцевого м'яза, с                    | 0,07±0,027   | 0,1±0,015*        | 0,1±0,01*       |
| Хвилинний час зігнання, с                               | 19,4±3,14    | 14,4±3,45*        | 14,1±3,04*      |
| Індекс напруження міокарда, %                           | 21,8±2,05    | 26,5±3,77*        | 30,3±6,05**     |

\*  $P < 0,05$ ; \*\*  $P < 0,01$ ; \*\*\*  $P < 0,001$ .

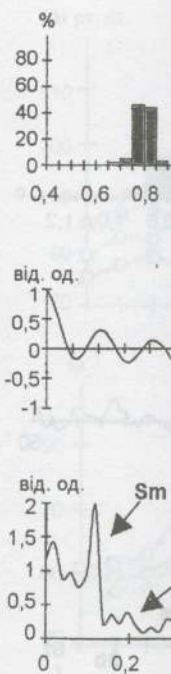


Рис. 1. Нормові  
щільності ( $\sigma$ ) в  
ми і високою  
(I), під час (II)

занурення у діапазон (Sm2) і першо-  
транспортну потужність спектра на нульовий час амплітуда зменшилась, а потужність Sm1 ще більша.

На рис. з помірним до- централізацією тлі брадикардією, ністю ( $\sigma = 0,6$ ) вання на глибині  $V = 9,2\%$ ), змін  $AV_{R-R}$  (0,92) і на тлі незначної  $\sigma$ ,  $V$  і IBP діє. Спектральні підчечень, швидкі

з під час занурення. При перебуванні в водолазів порівняно незначно середній індиктор руху крові та частота серцевих ритмів периферично-дексу (CI). Фазова умовність водолазів за під час напруження серця та зігнання. У результаті ослаблення напруження міокарду та ритму серця і кардіодолазів зберігався більшість показників залишилися.

Зміни значень, що проводяться за гіпер-дихальними значень кореляційні функції з домінуванням тонусу регуляторних систем на глибину близькі до середніх (4,5%) і IBP (184). Змінилися, за винятком інченої декомпресії до 0,06 і від 4,5 до 94 відповідно. До

структурі серцевого ритму на глибину 65 м

| час<br>занурення | Після<br>занурення |
|------------------|--------------------|
| 13,58            | 82,0±12,82         |
| 8,2**            | 58,5±7,8***        |
| ±9,04            | 52±16,35           |
| ±0,761           | 2,92±0,922*        |
| ±22,59           | 64,2±24,45         |
| ±7,59            | 33,2±23,02*        |
| ±0,061           | 0,25±0,071         |
| ±0,015*          | 0,1±0,01*          |
| ±3,45*           | 14,1±3,04*         |
| ±3,77*           | 30,3±6,05**        |

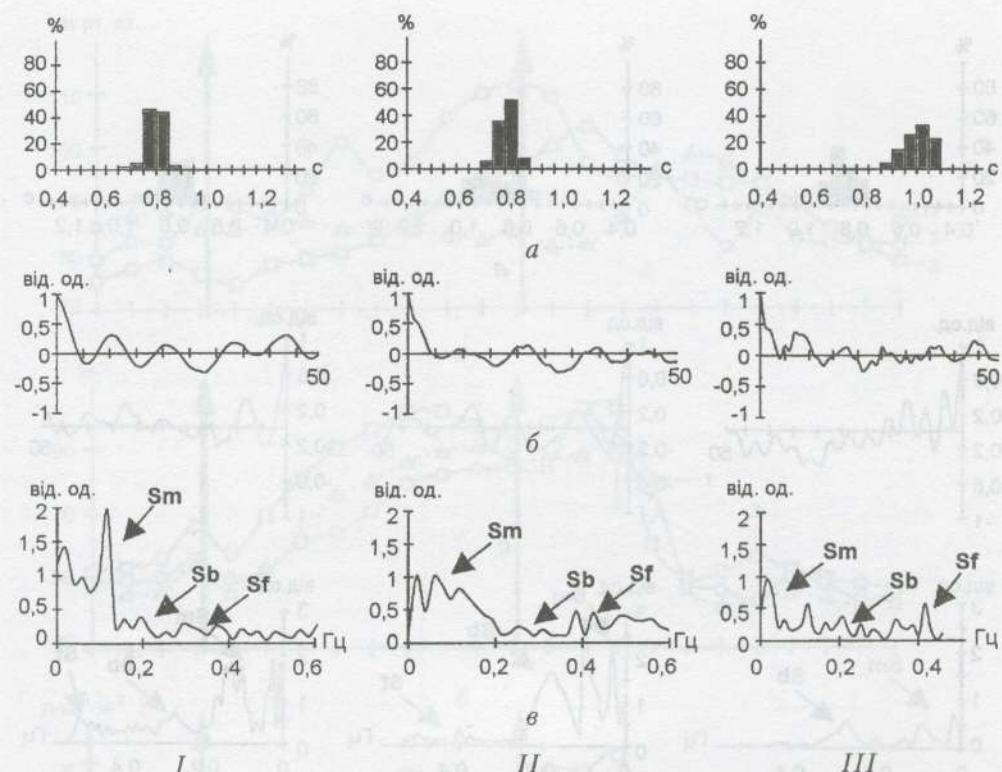


Рис. 1. Нормовані гістограми (а), автокореляційні функції (б) та функції спектральної щільності (в) водолаза з вираженим домінуванням тонусу симпатичної нервової системи і високою централізацією регуляторних механізмів у стані відносного спокою до (І), під час (ІІ) і після короткочасного занурення (ІІІ) на глибину 65 м.

занурення у даного водолаза в ритмі серця переважали повільні хвилі другого (Sm2) і першого (Sm1) порядків, дихальні (Sb) і швидкі (Sf) мали малу спектральну потужність. Після закінчення компресії спостерігалося різке зниження спектра на нульовій частоті (So), зменшення потужності Sm2 і Sm1. У той же час амплітуда Sb за умов щільного дихального середовища практично не змінилась, а потужність Sf різко підвищилася. Після занурення потужності Sm2 і Sm1 ще більш знизилися, але збільшилися значення So і Sf (див. рис. 1).

На рис. 2 показані зміни аналогічних показників ритму серця у водолаза з помірним домінуванням тонусу парасимпатичної нервової системи і низькою централізацією регуляторних механізмів. До початку занурення ритм серця на тлі брадикардії ( $A_{V_{R-R}} = 0,94$ ,  $Mo = 0,90$ ) характеризувався середньою варіабельністю ( $\sigma = 0,03$ ,  $V = 4,2\%$ ) і невеликим значенням IBP (110). Під час перебування на глибині 65 м варіабельність ритму серця значно підвищується ( $\sigma = 0,08$ ,  $V = 9,2\%$ ), зменшуються значення АМо з 42 до 23 і IBP з 110 до 66. Значення  $A_{V_{R-R}}$  (0,92) і Mo (0,95) практично не змінюються. Після закінчення декомпресії на тлі незначного зниження  $A_{V_{R-R}}$  (0,88 с) виникає тенденція відновлення Mo,  $\sigma$ , V і IBP до передспускового рівня (0,90, 0,07 с, 7,4 % і 90 відповідно). Спектральні потужності Sm2, Sm1 і Sb були дещо нижчими від середніх значень, швидкі хвилі були відсутні. Під час занурення спостерігалося різке

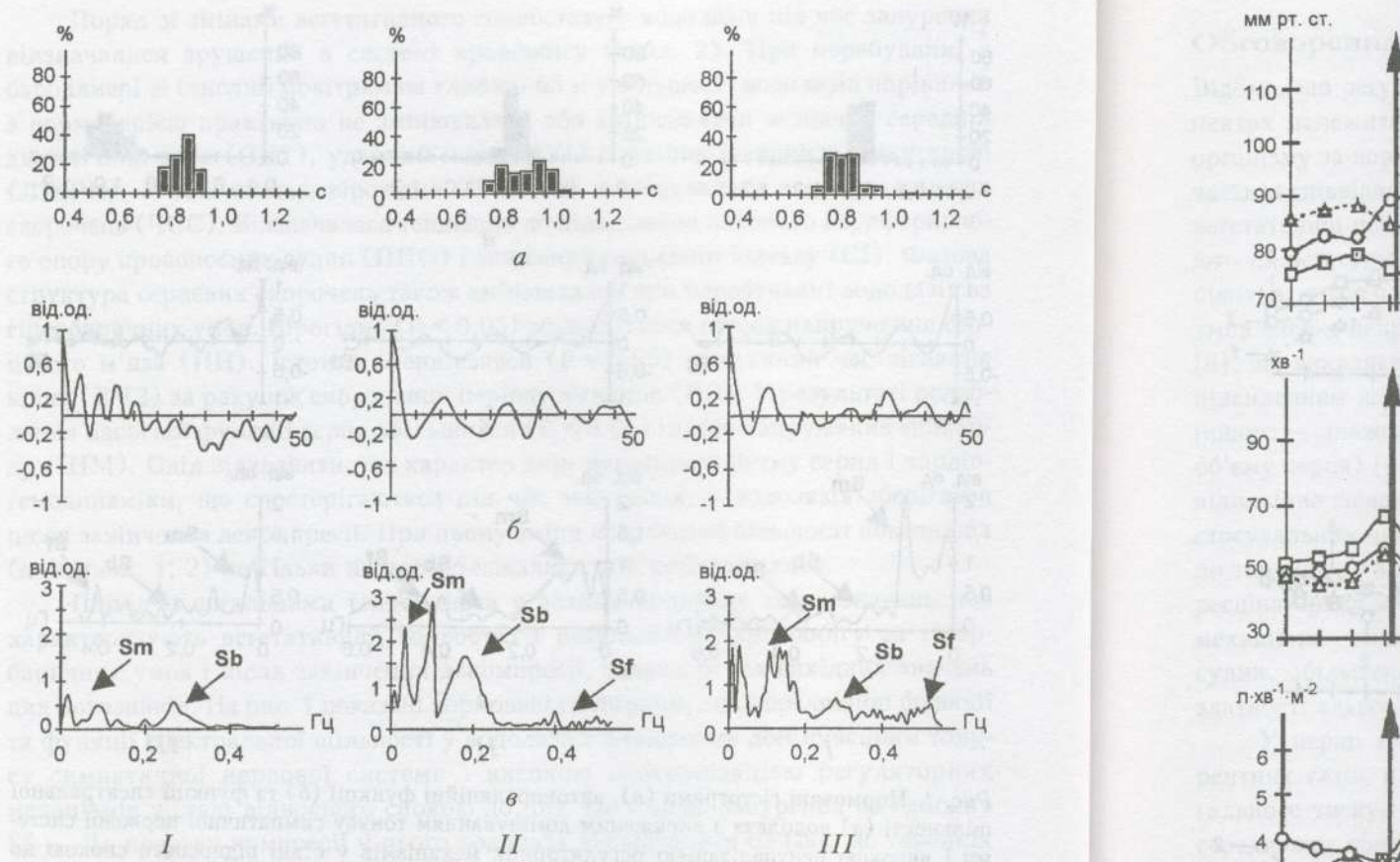


Рис. 2. Нормовані гістограми (а), автокореляційні функції (б) та функції спектральної щільності (в) у водолаза з помірним домінуванням тонусу парасимпатичної нервової системи і низькою централізацією регуляторних механізмів у стані відносного спокою до (І), під час (ІІ) і після короткочасного занурення (ІІІ) на глибину 65 м.

підсилення хвиль Sm<sub>2</sub>, Sm<sub>1</sub> і Sb, відзначалася поява швидких хвиль. Після занурення амплітуди Sm<sub>2</sub>, Sm<sub>1</sub> і Sb знизилися, хоча і перевищували передспусковий рівень. Навпаки, спектральні потужності Sf підвищилися (див. рис. 2).

На рис. 3 і 4 наведені зміни значень показників кардіогемодинаміки у цих же водолазів при проведенні проби Вальсальви до, під час і після занурення на 65 м з використанням стислого повітря. Порівняно з нормобарією у водолаза з вираженим домінуванням тонусу симпатичної нервової системи реакції ЧСС і СІ на підвищення внутрішньогрудного тиску при перебуванні в стисливому повітрі на глибині 65 м і після закінчення декомпресії послаблені, в той час як реакція питомого периферичного опору ППО посила (див. рис. 3). Зміни СДТ більш виражені за гіпербаричних умов і практично були відсутні після занурення. У водолаза з помірним домінуванням тонусу парасимпатичної нервової системи реакція СДТ на пробу Вальсальви найбільш виражена в передспусковому періоді, найменш — під час занурення. Зміни значень ЧСС, СІ і ППО збільшувалися незначно при зануренні та після закінчення декомпресії (див. рис. 4).

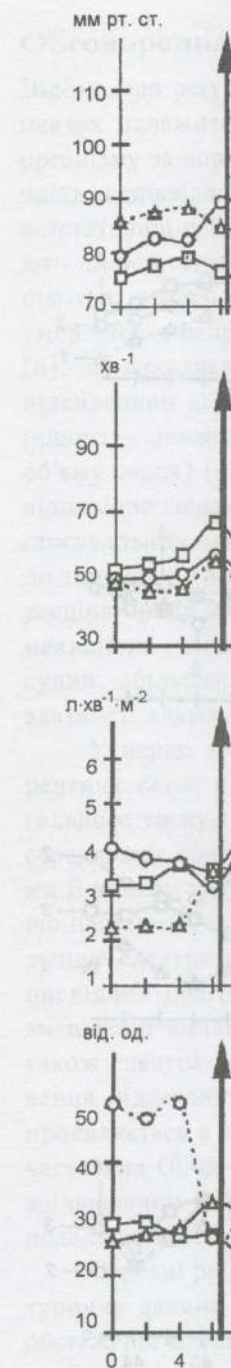
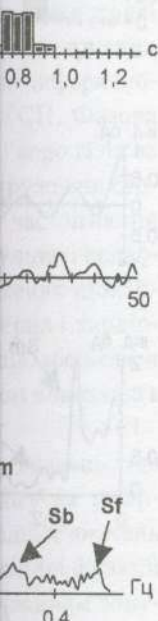


Рис. 3. Показники к парасимпатичної нервової системи при проведенні проби Вальсальви на глибину 65 м і після закінчення декомпресії.



хвиль. Після  
ли передспус-  
(див. рис. 2).  
циамікі у цих  
занурення на  
у водолаза з  
реакції ЧСС і  
ислому повітря  
час як реакція  
ни СДТ більш  
занурення. У  
вової системи  
овому періоді,  
більшувалися  
с. 4).

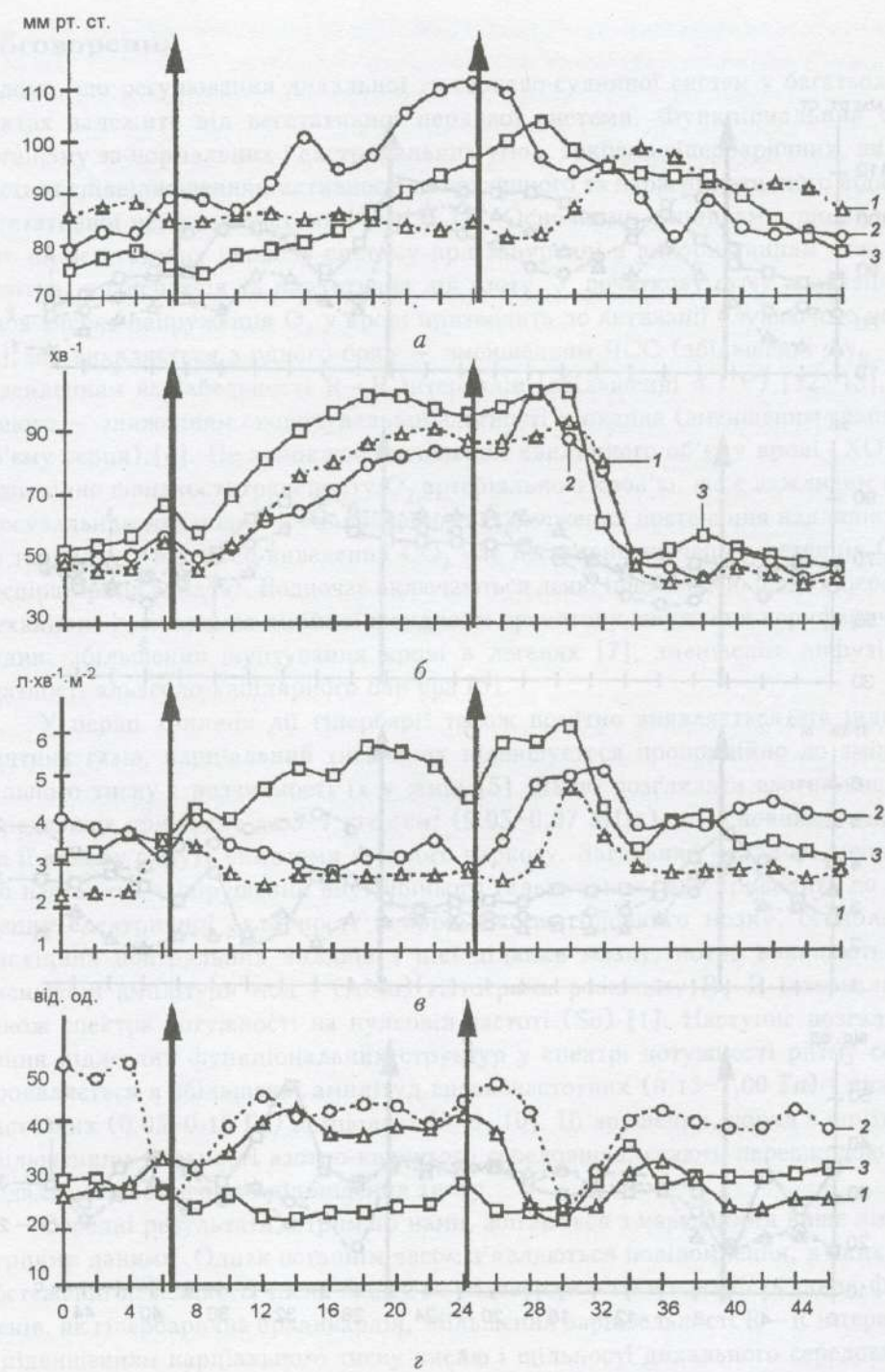


Рис. 3. Показники кардіогемодинаміки у водолаза з вираженим домінуванням тонусу парасимпатичної нервової системи та високою централізацією регуляторних механізмів при проведенні проби Вальсальви до (1), під час (2) і після (3) короткочасного занурення на глибину 65 м (стрілками відзначені початок і кінець проби Вальсальви): а — середній динамічний тиск, б — частота серцевих скорочень, в — серцевий індекс, г — питомий периферичний опір.

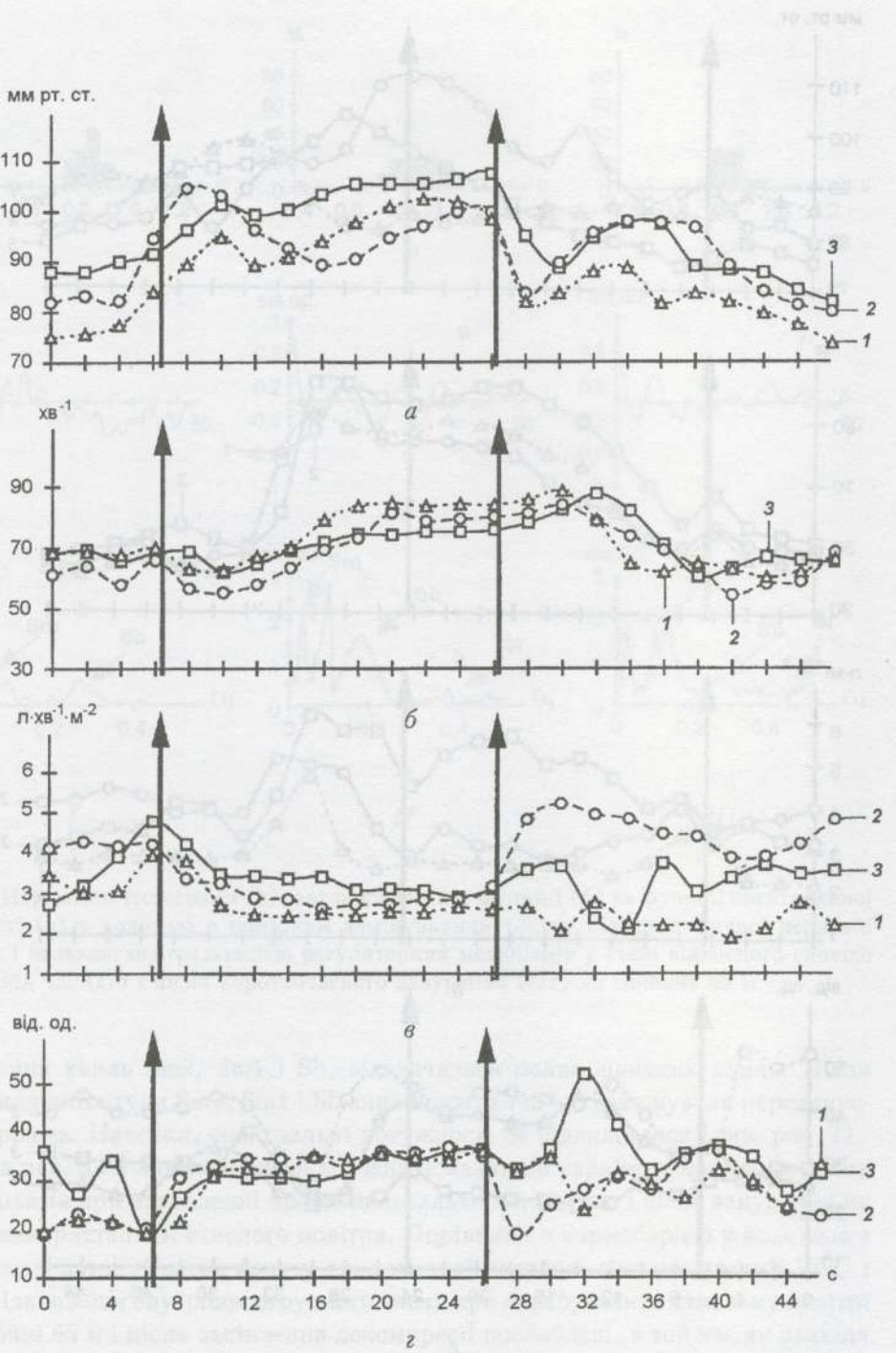


Рис. 4. Показники кардіогемодинаміки у водолаза з помірним домінуванням тонусу парасимпатичної нерової системи та низькою централізацією регуляторних механізмів при проведенні проби Вальсальви до, під час і після короткочасного занурення на глибину 65 м (стрілками відзначено початок і кінець проби Вальсальви): а — середній динамічний тиск, б — частота серцевих скорочень, в — серцевий індекс, г — питомий периферичний опір.

## Обговорення

Відомо, що регуляторні механізми вегетативного гомеостазу у водолазів залежать від типу вегетативного гомеостазу, який залежить від рівня тонусу парасимпатичної нервої системи [4]. У водолазів з переважаючим тонусом парасимпатичної нервої системи (гіперпарасимпатичний тип вегетативного гомеостазу) залежність серцево-судинного тонусу від тонусу парасимпатичної нервої системи зменшується [5].

У перші хвилини занурення зростання концентрації газів, підвищення артеріального тиску і середовище при зануренні. У водолазів з переважаючим тонусом парасимпатичної нервої системи залежність серцево-судинного тонусу від тонусу парасимпатичної нервої системи зменшується [5].

Середні результати даних обстеженні невеличкими, як гіпербітичні, з підвищеним питомим периферичним опором, залежність амплітуди та потужності ритму серця.

Проведений дослід показав, що залежність серцево-судинного тонусу від тонусу парасимпатичної нервої системи зменшується [5].

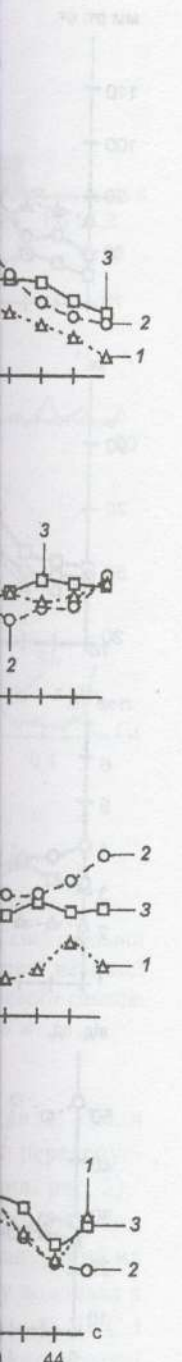
## Обговорення

Відомо, що регулювання дихальної та серцево-судинної систем у багатьох аспектах залежить від вегетативної нервової системи. Функціональний стан організму за нормальних і екстремальних умов, зокрема гіпербаричних, визначається співвідношенням активності симпатичного та парасимпатичного відділів вегетативної нервової системи [11–13, 15]. Основними чинниками, що впливають на вегетативну нервову систему при зануренні з використанням стислого повітря, є гіпероксія та наркотична дія азоту. У початкову фазу адаптації до умов високе напруження  $O_2$  у крові призводить до активації блокаючого нерва [8], що виявляється з одного боку – зменшенням ЧСС (збільшеннем  $A_{V_{R-R}}$ ) і підсиленням варіабельності R–R інтервалів (збільшеннем  $\sigma$  і V) [12, 13], а з іншого – зниженням скорочувальної здатності міокарда (зменшення ударного об'єму серця) [4]. Це зумовлює зменшення хвилинного об'єму крові (ХОК) і відповідно швидкості транспорту  $O_2$  артеріальною кров'ю, що є важливим пристосувальним механізмом, направленим на обмеження постачання надлишку  $O_2$  до тканин – (відносно виведення  $CO_2$  має негативне значення: ретенція  $CO_2$ , респіраторний ацидоз). Водночас включаються деякі інші захисні щодо гіпероксії механізми – зниження лінійної швидкості кровотоку, звуження периферичних судин, збільшення шунтування крові в легенях [7], зменшення дифузійної здатності альвеоло-капілярного бар'єра [5].

У перші хвилини дії гіпербарії також помітно виявляється дія індиферентних газів, парціальний тиск яких підвищується пропорційно до змін загального тиску і розчинності їх у жирі [5]. Якщо розглядати азотно-кисневе середовище при тиску до 5–7 кгс/см<sup>2</sup> (0,05–0,07 МПа), то основними ознаками її впливу будуть симптоми азотного наркозу. Загальний механізм зрушень, що настають – порушення внутрішнього гальмування, яке приводить до зниження електричної активності нейронів кори головного мозку, ослаблення нисхідних центральних впливів з цієї ділянки мозку, котре виявляється в зменшенні амплітуди мод і (AMo) гістограми розподілу R–R інтервалів, а також спектра потужності на нульовій частоті (So) [1]. Наступне розгальмування підлеглих функціональних структур у спектрі потужності ритму серця проявляється в збільшенні амплітуд високочастотних (0,15–1,00 Гц) і низькочастотних (0,05–0,15 Гц) компонент [3, 9, 10]. Ці зрушення, поряд з помітним збільшенням щільності азотно-кисневого середовища, стають перешкодою для подальшого безпечноного підвищення тиску.

Середні результати, отримані нами, збігаються з наведеними вище літературними даними. Однак останнім часом з'являються повідомлення, в яких при обстеженні невеликого числа людей не підтверджується наявність таких феноменів, як гіпербарична брадикардія, збільшення варіабельності R–R інтервалів з підвищением парціального тиску кисню і щільності дихального середовища, залежність амплітуд низькочастотних і високочастотних компонент спектра потужності ритму серця від ступеня наркотичної дії азоту [5, 10, 12, 13, 15].

Проведений в даній роботі аналіз індивідуальних змін вегетативного гомеостазу та характеру реакції кровообігу на пробу Вальсальви у кожного водолаза до, під час і після закінчення занурення дозволив виявити їх залежність від вихідного рівня нисхідних центральних нервових впливів і співвідношення



нануванням тонусу  
орніх механізмів  
го занурення на  
ї): а – середній  
екс, в – питомий

активності симпатичного та парасимпатичного віddілів вегетативної нервової системи. У водолаза з високими вихідними значеннями So, Sm2 і Sm1 (високим ступенем централізації регулювання кровообігу) при дії екстремальних гіпербаричних чинників спостерігається зменшення їх амплітуди (див. рис. 1), що свідчить про послаблення під час занурення центральних нисхідних впливів на серцево-судинну систему. В той же час, вегетативний баланс з вихідним домінуванням активності симпатичного віddілу за гіпербаричних умов ще більше зміщується в бік симпатичних впливів (IBP підвищується від 184 до 255). Характер реакції кровообігу на пробу Вальсальви за гіпербаричних умов (див. рис. 3) також дозволяє припустити підсилення активності симпатичного віddілу вегетативної нервової системи [6]. Подібне явище звичайно визначають як перехідний процес у системі регулювання кровообігу і пов'язують з випереджаючим включенням симпатичного елементу для часткової компенсації зниження контролю з боку вищих нервових структур [1]. Після закінчення декомпресії симпатичні впливи знижуються. Однак контроль серцево-судинної системи з боку центральних структур не відновлюється. Це призводить до того, що реакція кровообігу на підвищення внутрішньогрудного тиску після впливу гіпербаричних чинників набуває патологічного характеру (див. рис. 3), вказуючи на розвиток у даного водолаза вегетативної недостатності [2]. Через 30 хв після закінчення декомпресії у цього водолаза виникли симптоми декомпресійного розладу, що виявлялись у вигляді звуження поля зору, сильного запаморочення та нудоти. У водолаза з вихідним помірним домінуванням у вегетативному гомеостазі парасимпатичних впливів і з незначною централізацією регулювання кровообігу при дії гіпербаричних чинників спостерігається «нормалізація» вегетативного гомеостазу і низька напруженість регулювання діяльності серцево-судинної системи з боку центральних структур головного мозку (див. рис. 2). Такі зміни вегетативного гомеостазу зберігаються і по закінченні декомпресії. Реакція кровообігу на пробу Вальсальви у цього водолаза під час занурення і після його закінчення має нормальній характер [2, 6] і свідчить про відсутність вегетативних порушень (див. рис. 4).

## Висновки

- Показано, що основними чинниками, які викликають у водолазів зміни вегетативного гомеостазу і кровообігу при зануренні на глибину 65 м з використанням стислого повітря є гіпероксія та наркотична дія азоту.
- Деякі особливості змін вегетативного гомеостазу і кардіогемодинаміки мають загальний для всіх водолазів характер. При зануренні з використанням стислого повітря гіпероксія викликає підсилення вагусних впливів, що проявляється, з одного боку, зменшенням частоти серцевих скорочень і підсиленням варіабельності R-R інтервалів і, з іншого боку, зниженням скоротливої здатності міокарда. Це зумовлює зниження хвилинного об'єму крові і, відповідно, швидкості транспорту O<sub>2</sub> артеріальною кров'ю, що є важливим пристосувальним механізмом, направленим на обмеження доставки надлишку O<sub>2</sub> до тканин. Водночас включаються інші захисні відносно гіпероксії механізми – зниження лінійної швидкості кровотоку, звуження периферичних судин. Наркотична дія азоту призводить до ослаблення нисхідних впливів центральних структур го-

ловного мозку, розподілу R (So), а також тур. Останнє збільшенням 0,15 Гц) перед

3. Виявлено характеру реакції закінчення центральних парасимпатичних високим ступенем активності умов виникає або парасимпатичний лазів високим вихідною має заживленням стазом нормального розподілу активності парасимпатичних розподілу.

V. Ilyin

VARIATION  
AND CHANGES

Investigation of changes in which mean arterial pressure and continuous monitoring of peripheral blood vessels of autonomic nervous system used. In 10 divers with decompression pressure in which density of cardiac output and of cardiac output were determined. The evaluation of autonomic nervous system.

A.A. Bogorodskiy  
National Research Institute

## СПИСОК ЛІТЕРАТУРИ

- Баевский Р.Л., Бородин А.А. Структура и функции вегетативной нервной системы. Сердечно-сосудистая система. М.: Медицина, 1986.
- Банистер Р.М., Бородин А.А. Структура и функции вегетативной нервной системы. Сердечно-сосудистая система. М.: Медицина, 1986.

тивної нервової і Sm1 (високим емальних гіпер- рив. рис. 1), що дних впливів на вихідним домі- умов ще більше 84 до 255). Ха- них умов (див. тичного відділу визначають як ть з випереджа- ції зниження декомпресії інної системи з того, що реакція гіпербаричних чи на розвиток сля закінченняго розладу, що ння та нудоти. гомеостазі парасимпатичного вегетативного гомеостазу при адреналінної системи і зміни вегета- ція кровообігу при закінченні адреналінних пору-

зов зміни веге- з використан-

емодинаміки використанням ів, що прояв- підсиленням ивої здатності рівно, швид- стосувальним тканин. Вод- — зниження прокотична дія структур го-

ловного мозку, що виявляється в зменшенні амплітуди моди (AMo) гістограми розподілу R-R інтервалів і значення спектра потужності на нульовій частоті (So), а також наступному розгальмуванню підлеглих функціональних структур. Останній феномен у спектрі потужності ритму серця характеризується збільшенням амплітуд високочастотних (0,15–1,00 Гц) і низькочастотних (0,05–0,15 Гц) періодичних компонент.

3. Виявлена залежність індивідуальних змін вегетативного гомеостазу і характеру реакції кровообігу на пробу Вальсальви у водолаза до, під час і після закінчення короткочасних гіпербаричних впливів від вихідного рівня нисхідних центральних нервових впливів і співвідношення активності симпатичного та парасимпатичного відділів вегетативної нервової системи. У водолазів з вихідним високим ступенем централізації регулювання кровообігу і вираженим домінуванням активності симпатичного або парасимпатичного відділів за гіпербарічних умов виникає минуща дізрегуляція кровообігу з домінуванням симпатичного або парасимпатичного елементів. Після закінчення декомпресії у таких водолазів висока ймовірність виникнення вегетативних порушень. У водолазів з вихідною малою централізацією регулювання кровообігу і вегетативним гомеостазом нормо- або симпатотонічного типів, а також з помірним домінуванням активності парасимпатичної нервової системи менш вірогідне виникнення вегетативних розладів під час або після занурення.

V. Ilyin

### VARIATION OF AUTONOMIC BALANCE AND CIRCULATION IN AIR DIVES

Investigations were performed during 24 simulated air dives under pressure 0,74 MPa in which 16 divers took part. Before, during and after dives intrathoracic pressure, mean arterial pressure, ECG, rheopletmogram and intervalocardiogram were recorded continuously with the Valsalva manevres. Variables of heart pumping function, peripheral vascular system, phasic heart cycle structure were calculated. For evaluation of autonomic homeostasis variational and spectral analysis of cardiac rhythm were used. In hyperbaria a part of hemodynamic response peculiarities to intrathoracic pressure increase were common to all divers and caused by hyperoxia and increased density of breathing medium, which lead to the appearance of bradycardia, decrease of cardiac output, peripheral vasoconstriction enhancement. Other observed features were determined by alterations in sympathetic and parasympathetic nervous system tonus. These changes were rather complex and highly individual. Our data may benefit evaluation of hyperbaric factor stressfull action on blood flow and autonomic nervous system.

A.A. Bogomoletz Institute of Physiology,  
National Academy of Science of Ukraine, Kiev

### СПИСОК ЛІТЕРАТУРИ

1. Баевский Р.М., Кириллов О.И., Клецкин С.З. Математический анализ изменений сердечного ритма при стрессе. — М.:Наука, 1984. — 223 с.
2. Банистер Р.Д. Диагноз и лечение хронических форм вегетативной недостаточности. — В кн.: Нейро-трансміттерные системи. — М.: Медицина, 1982. — С. 88-102.

3. Беннетт П.Б. Наркотическое действие нейтральных газов. — В кн.: Медицинские проблемы подводных погружений / Под ред. П.Б. Беннетта, Д.Г. Эллиotta. — М.: Медицина, 1988. — С. 247-273.
4. Жиронкин А.Г. Токсическое действие кислорода. — В кн.: Адаптация человека к экстремальным условиям среды / Под ред. О.Г. Газенко. — М.: Наука, 1979. — С. 406-453.
5. Гуляр С.А., Ильин В.Н. Современные концепции адаптации организма человека к гипербарии и его реадаптации после декомпрессии // Физиол. журн. — 1990. — 36, № 4. — С.105-114.
6. Лоога Р.Ю. Изменения кровообращения при опыте Вальсальвы // Усп. физiol. наук. — 1973. — 4, № 3. — С.134-151.
7. Петровский Б.В., Ефуни С.Н. Основы гипербарической оксигенации. — М.: Медицина, 1976. — 346 с.
8. Сорокин П.А. Влияние дыхания  $O_2$  при нормальном и повышенном давлении на гемодинамику и ЭКГ человека. — В кн.: Функции организма в условиях измененной газовой среды. — М.: Л., 1958. — 2. — С.46-60.
9. Akselrod S., Gordon D., Ubel F.A. et al. Power spectrum analysis of heart rate fluctuation: a quantitative probe of beat-to-beat cardiovascular control // Science. — 1981. — 213, № 4504. — Р. 220-222.
10. Jakovljevic M.B., Mekjavić I.B. Autonomic nervous control of heart rate during inhalation of sub-anesthetic levels of nitrous oxide. Programme and abstracts of XXIst Annual Meeting of the EUBS. Helsinki, 1995. — Р. 9.
11. Ilyin V., Gulyar S., Reeben V. Continuous non-invasive monitoring of divers' central hemodynamic variables with automatized express-evaluation of cardio-vascular systems' functional state under increased ambient pressure. Naukownia saturowane-problematika techniczna. — Referaty na III Sympo zjum. AMW, S. Gdynia: 1991. — Р. 25-30.
12. Naraki N. et al. Autonomic nervous function in deep-sea divers during sleep 300 m He— $O_2$  saturation dive. Proc XX th Annual Meeting of the EUBS, Istanbul: 1994. — Р. 211-216.
13. Naraki N. et al. ECG R—R intervals variation as an index of autonomic nervous function at hyperbaric environments 19 ATA He— $O_2$  and 3 ATA  $N_2$ — $O_2$ . Programme and abstracts of XXIst Annual Meeting of the EUBS, Helsinki: 1995. — Р. 3.
14. Selye H., Rawlings R. Essential of the stress concept // Int. J. Tissue React. — 1980. — 2, № 2. — Р.113-118.
15. Viljanen A.A., Sipinen S., Lindholm H. Telemetric measurement of autonomic nervous function. Programme and Abstracts of XXIst Annual Meeting of the EUBS, Helsinki: 1995. — Р. 2.

Ін-т фізіології ім. О.О.Богомольця  
НАН України, Київ

Матеріал надійшов  
до редакції 9.03.99

I. Д. Глазирін

## Особливості 15–17 років темпів їх біос

Изучали  
15–17 ле  
результаты  
темпов би  
зического  
такой ди  
кие групп  
торые с  
лей, а та  
с ускоре  
тим кар  
пами раз  
ется от

### Вступ

Деякі вчені [8, 9,  
шого шкільного ві  
або суттєве уповіл  
авторів [11, 13, 17]  
морфофункционал  
особливо, юнаків.

Нерівномірні  
при розподілі їх н  
16], статевого доз  
тиром [5, 11, 12]

Характеристи  
диференціються  
особливості біолог  
ристовували два по  
логічні показники  
рухових якостей, т  
вих здібностей. У  
функціональних  
компонентів оцінк

Більш точно  
морфофункционал  
статевого дозріван  
свої процеси стан

© І. Д. Глазирін, 1999